

Расчетные значения удельной фоточувствительности находятся в хорошем соответствии со средними значениями экспериментальных данных.

Библиографический список

1. Полупроводниковые детекторы в экспериментальной физике / Ю. К. Акимов, Ю. В. Игнатьев, А. И. Калинин, В. Ф. Кушнирук. - М. : Энергоатомиздат, 1989. - 344 с.
2. R. Polichar, R. Schirato, and J. Reed, **Development of CdZnTe Energy Selective Arrays for Industrial and Medical Radiation Imaging**. Nucl. Instrum. Meth. A353 (1994) pp. 349-351.
3. R. Sudharsanan, K. B. Parnham, and N. H. Karam, **Cadmium Zinc Telluride Detects Gamma Rays**, Laser Focus World, June (1996) pp. 199-204.
4. A. A. Melnikov, N. A. Kulchitsky, and V. T. Khryapov, **Optimization Methods in Semiconductor Material Technology**. Editor A. A. Melnikov, published by All-Union Institute Interbranch, Moscow (1995) 64 pp.
5. A. A. Melnikov, A. S. Sigov, and K. A. Vorotilov, **Modeling of Thermal Fields in Multilayer Semiconductor Structures**, Materials Research Society (Spring Miting, San Francisco, 1996) W41.1.
6. A. A. Melnikov, A. S. Sigov et al. **New techniques of CdZnTe monocrystals growing for room temperature gamma-ray detectors**. Materials Research Society (Fall Miting, Boston, 1997).
7. A. A. Melnikov, K. A. Vorotilov, et al. **Room-temperature CdZnTe gamma-ray detectors**. Materials Research Society (Fall Miting, Boston, 1997).

УДК 539.26

СТРУКТУРНЫЕ ИЗМЕНЕНИЯ В ПЛЕНКАХ СЕРЕБРА ПРИ ОБЛУЧЕНИИ ИОНАМИ ГЕЛИЯ

Н. В. Камышанченко, И. С. Мартынов,

Белгородский государственный университет

Н. Н. Матюшенко, И. М. Неклюдов, В. Ф. Рыбалко

ННЦ Харьковский физико-технический институт

Согласно справочникам [1, 2], чистое серебро имеет ГКЦ решетку и полиморфизм не обладает. Однако, в работе [3,4,5] рядом авторов сообщалось о наблюдении гексагональной фазы в тонких пленках серебра, полученных испарением и конденсацией в вакууме [3, 5]. В работе [6] в качестве доказательства существования гексагонального серебра авторы используют экстра-рефлексы, наблюдавшиеся в электронограммах. Но в работах [7, 8] наличие экстра-рефлексов авторы объяснили особенностями дифракции от двойниковых границ. Это существенно осложнило решение вопроса о существовании гексагональной решетки серебра. Тем не менее, несколько позже, в работе [9] было получено доказательство присутствия гексагональной фазы в самородном серебре, содержащем малые примеси Cu, Fe, Cr, Ni. Авторы [9] показали, что слабые рефлексы в электронограммах обусловлены не дефектами упаковки кубической решетки, а наличием независимой гексагональной фазы с укладкой атомов (ABACA, Р₆мс; a=0,28 нм, c=1,0 нм и еще АВА, a=0,29 нм, c=4,8 нм). При этом предполагалось, что присутствие вышеупомянутых примесей служило стабилизирующим фактором для нестабильной гексагональной фазы.

Вопрос о гексагональной фазе серебра в тонких пленках, не содержащих сколько-нибудь заметного количества примесей, нуждается в дополнительном изучении. Кроме того, в случае подтверждения образования такой фазы желательно выяснить ее возможное влияние на поведение пленок при облучении их ионами инертных газов.

Благодаря исследованиям, выполненным в последние годы, сейчас уже твердо установлено, что бомбардировка тонких пленок переходных металлов ионами инертных газов не приводит к возникновению местабильных радиационно-индукционных фаз, если пленки не загрязнены примесями [10]. В то же

время пока не ясно, как может оказаться присутствие зародышей другой фазы в пленке на ее поведение под облучением.

Поэтому в настоящей работе была предпринята попытка изучить структуру тонких пленок серебра, полученных испарением в вакууме, найти данные о гексагональной фазе, изучить, влияние присутствия этой фазы на структурные изменения в пленках в процессе их облучения ионами инертного газа, а также исследовать облучения на микроструктуру пленок.

Ниже приведены результаты этих исследований.

Экспериментальная часть. Моно- и поликристаллические сконденсированные пленки серебра толщиной 100 ± 5 нм, использовавшиеся в наших экспериментах, были получены с помощью электронно-лучевого испарения из вольфрамового тигля навески серебра чистотой 99,999 вес % в вакууме $\sim 5 \cdot 10^{-7}$ Па и последующей конденсации пара на три разных вида подложек.

Вакуум в камере получали с помощью криогенного насоса. Контроль состава остаточного газа проводили масс-спектрометром типа МХ-7301. В качестве основных линий в масс-спектре зарегистрированы водород и гелий.

1. Поликристаллические пленки серебра были получены конденсацией пара серебра на подложки из оптического кварцевого стекла (класс поверхности 14) при температуре подложек серебра ~ 370 К и скорости роста осажденного слоя 1,5 нм/с., а монокристаллические пленки серебра получали конденсацией на свежих сколах монокристаллов NaCl, а также на подложках из слюды при температуре подложек ~ 500 К со скоростью конденсации 0,5 нм/с.

Для стабилизации и совершенства структуры пленок производился их отжиг при температуре ~ 700 К в течение 1 часа в условиях сверхвысокого вакуума [11].

Пленки, полученные на слюде и стекле, отделяли от подложек травлением в 5% растворе плавиковой кислоты, а от подложек NaCl – растворением подложки в дистиллированной воде.

Свободные пленки вылавливались на медные предметные сетки с отверстием по центру диаметром 0,6 мм.

Степень чистоты полученных моно- и поликристаллических пленок проверяли методом обратного резерфордовского рассеяния ионов He^+ с энергией 1,6 МэВ [12]. Примесей, превышающих уровень фона измерений ($< 10^{-3}$), в пленках не обнаружили. Серии моно- и поликристаллических пленок серебра были облучены различными дозами ионов He^+ в диапазоне доз ($1 \cdot 10^{12} - 6 \cdot 10^{16}$ ион/см²) – поликристаллические, а монокристаллические пленки облучались до доз $4 \cdot 10^{16} - 5 \cdot 10^{17}$ ион/см².

Облучение пленок проводили хорошо сепарированным пучком ионов He^+ с энергией 7 кэВ и плотностью тока $\sim 0,1$ мкА/см² при комнатной температуре. Температуру мишени контролировали на протяжении всего времени облучения и поддерживали на постоянном уровне с точностью ± 2 К.

Кристаллическую структуру исходных и облученных пленок и их субструктуру изучали методами электронографии и просвечивающей электронной микроскопии, соответственно. Для исследований использовали электронный микроскоп типа ЭВМ-100Л с рабочим напряжением 100 кВ.

Обработку электронограмм проводили на оптическом компараторе ИЗА-2.

По микрофотографиям темнопольного изображения исходных и облученных пленок, полученным при увеличениях $\times 15.000^\times$, проводили измерение размеров кристаллитов. Средний размер кристаллов определяли исходя из результата 300 измерений на микроснимках для каждого образца, подсчет производился на полуавтоматическом координатном устройстве с расчетом по составленному алгоритму программы. Суммарную плотность дислокаций в кристаллитах поликристаллических пленок определяли по нескольким ориентациям, применяя метод микропучка в темнопольной электронной микроскопии. По микрофотографиям темнопольного изображения исходных и облученных пленок, полученным при увеличениях $\times 50000^\times$, по нескольким ориентациям

проводили подсчет средней плотности дислокаций в кристаллитах [8].

Изменение параметров кристаллической решетки определялось по электронограммам с напыленным на образцы пленок эталона TiCl [14].

По составленным математическим алгоритмам программ определяли: идентификации фаз, уточнение параметров решетки и нахождение дифракционной группы материала [15].

Результаты и обсуждение. Исходные поликристаллические пленки серебра сконденсированные на кварцевом стекле имели полидисперсную структуру со средним размером кристаллитов ~ 150 нм. На рис.1 показаны электронограмма (увел. $\times 2$) и микроструктура поликристаллической пленки серебра.



Рис. 1. Электронограмма увел. $\times 2$. (а), (б) – микроструктура поликристаллической пленки серебра. На микрофотографии (б) светопольное изображение дефектов упаковки в микрокристаллах.

Согласно выполненной оценки формы микрокристаллов пленки предложенной в работе [11], сконденсированная на стекле пленка серебра как бы сложена в ос-

новном из монокристаллов столбчатой формы и является моноблочной по толщине для областей когерентного рассеяния (220) и полиблочкой по толщине для о.к.р. (111+200). Микрокристаллы (311) по характеру блочности занимают промежуточное положение [10]. Анализ интегральной интенсивности дифракционных колец на электронограмме (рис.1) выявил в пленке преимущественную ориентацию плоскости максимальной упаковки (111) параллельно подложке, и индекс оси аксиальной текстуры составляет величину $P_{[111]} \approx 16,5$, а это означает, что основную фракцию объема пленки составляют о.к.р. (220).

Таблица 1

Идентификация фазы поликристаллической пленки гексагонального серебра (погрешность ошибок векторов обратной решетки приведены в скобках = $(\pm) \cdot 10^{-4}$)

Вектора обратной решетки фазы и межплоскостные расстояния, Å

hP hkl	$H_{hkl}^* = 1/d_{hkl}^2$	d_{hkl} , Å
110	0,1601(-2)	2,4992
003	0,1795(-1)	2,3603
112	0,2399(-3)	2,0417
113	0,3396(-3)	1,7160
114	0,4792(+3)	1,4446
300	0,4802(-7)	1,4431
301	0,5002(+1)	1,4139
302	0,5600(-2)	1,3363
220	0,6403(+9)	1,2497
115	0,6587(+10)	1,2321
303	0,6596(+0)	1,2313
221	0,6603(-5)	1,2306
222	0,7201(-6)	1,1784
224	0,9595(-18)	1,0209
410	1,1206(+8)	0,9447
411	1,1405(+11)	0,9364
412	1,2004(+4)	0,9127
414	1,4397(+22)	0,8334
330	1,4407(+12)	0,8331

параметры	ошибки
$a = 4,9987 \text{ \AA}$	$\Delta a = (37) \cdot 10^{-3}$
$c = 7,0808 \text{ \AA}$	$\Delta c = (30) \cdot 10^{-3}$
$c/a = 1,4165(17)$	$\Delta (c/a) = (17) \cdot 10^{-3}$
$V = 153,22 \text{ \AA}^3$	$\Delta V = (23) \cdot 10^{-2}$

Как видно на электронограмме (рис.1а), помимо основных дифракционных

колец структуры серебра ГКЦ-решетки присутствуют дополнительные экстракольца. На фотографии удается различить только сильные линии. Другие экстрадифракционные линии очень слабой интенсивности. Их удается зарегистрировать на фотопластинках, только используя методику кратных экспозиций и наклона образца под углом 30-45°. Применение этого способа позволило обнаружить и измерить в общей сложности 19 дифракционных линий, межплоскостные расстояния которых приведены в табл. 1. Здесь же приведена их идентификация, которая дает следующие параметры решетки ГПУ-фазы: $a = 4,9987$ и $c = 7,0807 \text{ \AA}$, объем $V = 153,22 \text{ \AA}^3$ и погрешность ошибки от расчета $\Delta a = (37) \cdot 10^{-3}$, $\Delta c = (30) \cdot 10^{-3}$, $\Delta V = (23) \cdot 10^{-2}$.

Пространственная группа: $6/mC_{61} / -$; $6/mmmC_{62}$ дифр. Символ гр. 79 [12].

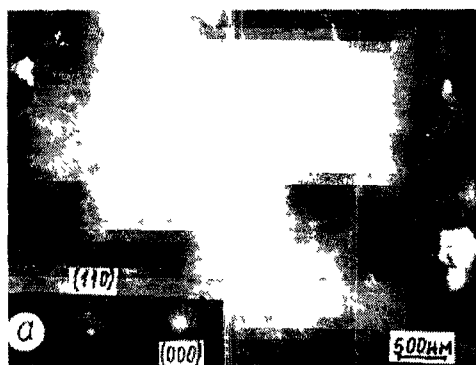


Рис. 2. Темнопольное изображение микрокристаллов гексагональной фазы в свете отражений (110), а – картина микродифракции, изображение получено в микропучке с апертурной диафрагмой в рефлексе (000) и на (110), увел.х4.

На рис. 2 показано темнопольное изображение кристаллитов в свете отражения гексагональной фазы (110), что соответствует межплоскостному расстоянию

$$d_{(110)} = 2,4992 \text{ \AA},$$

а на электронограмме (рис. 1 а) отмечена стрелкой кольцевая экстраподиумия, которой на дифракционной картине от ГЦК-фазы не должно быть. Светлые детали на микрофотографии кристаллиты гексагональной фазы серебра. Микрофотография в свете отраже-

ний (110) получена на электронном микроскопе в апертурной диафрагме диаметром 4 мкм. Микродифракционная картина (а) получена с апертурной диафрагмой рефлекса (000) и (110) – гексагональной фазы.

2. Монокристаллические пленки серебра с ориентацией [111], сконденсированные на подложки скопа слюды MoS_2 – гексагональной симметрии.

Пленки серебра представляют собой мозаичные монокристаллы с выходом плоскости (111) параллельно поверхности в направлении оси [111], на рис. 3 показана дифракционная картина и светопольное и темнопольное изображение микроструктуры пленки.

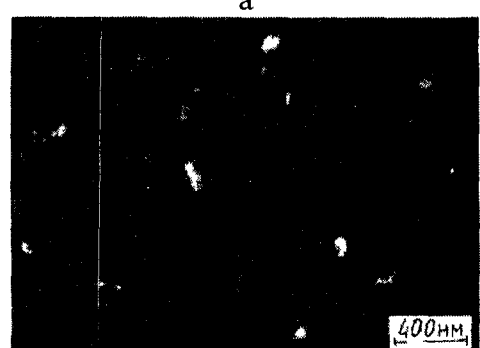
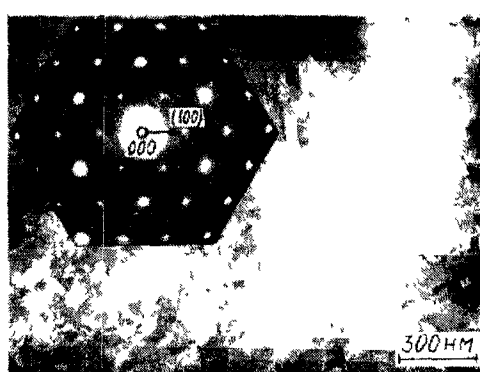


Рис. 3. Пленка монокристаллического серебра, сконденсированного на слюде: электронограмма (а) – светопольное изображение микроструктуры, (б) – темнопольное изображение областей когерентного рассеяния в свете отражений (100) – гексагональной фазы.

На электронограмме (рис. 3 а) видны интенсивные рефлексы плоскостей {022} и {224}, которые отображают гексагональную сетку зоны с осью [111], и других рефлексов не должно быть. Напротив, реальная структура

сконденсированной пленки дает дополнительные рефлексы и также дополнительные рефлексы, разрешенные структурным фактором, и образует гексагональную сетку с осью [001] – гексагональную фазу с периодом $a_h = 2,889 \text{ \AA}$, связанную строением с кубической структурой отношением $a_h = a_c/\sqrt{2}$. Комплекс зарегистрированных экстраперифлексов и идентификация фаз приведены в табл. 2.

На микрофотографии (рис. 3 а) показана микроструктура пленки, светопольное изображение дислокаций несоответствия, связанные с дефектами и упаковкой. На микрофотографии (рис. 3 б) показано темнопольное изображение областей когерентного рассеяния в свете отражений (100) – гексагональной фазы, что соответствует межплоскостному расстоянию $d_{(100)} = 2,5006 \text{ \AA}$. Микрофотография дает представление о размерах выделений гексагональной фазы в кубической матрице, а также об их пространственном распределении. Из рис. 3 б видно, что размеры областей с гексагональной фазой в монохроматической пленке значительно меньше, чем размеры кристал-

лов этой фазы, наблюдающиеся в поликристаллической пленке. С отжимом пленок (111) Ag, совершенствуется кристаллическая структура и микроструктура, происходит укрупнение среднего размера блок-кристаллитов и уменьшается в них плотность дислокаций несоответствия и дефектов упаковки.

3. Монокристаллические пленки (001) Ag, сконденсированные на подложки кристалла (001) NaCl, имели ориентацию оси [001]. На электронограмме рис. 4 а видно: кроме рефлексов зоны [001] присутствуют дополнительные и менее интенсивные азимутальные размытые рефлексы, расположенные на кольцах плоскостей {113} и {133} (непарные индексы), а также тяжи от дефектов упаковки в плоскостях {111}. Кроме того, наряду с основным направлением оси [001] имеется второе направление оси [110], о чем свидетельствуют азимутально размытые рефлексы от плоскостей {113} и {133}. На микрофотографии (рис. 4 б) видны светопольные изображения микроструктуры и отдельные сгустки дислокаций упаковки в плоскостях.

Таблица 2

Данные измерения, $d \text{ \AA}$, $\Delta d = (\pm 5) \cdot 10^{-4}$	hp hkl	$d_{hkl}, \text{ \AA}$	cF hkl	$d_{hkl}, \text{ \AA}$
2.8871	001	2.8871	–	–
2.5006	100	2.5006	–	–
2.3902	002	2.3902	–	–
2.3593	–	–	111	2.3593
2.2619	101	2.2619	–	–
2.0431	–	–	200	2.0431
1.7144	102	1.7144	–	–
1.4446	–	–	220	1.4446
1.3306	103	1.3303	–	–
1.2500	200	1.2500	–	–
1.2319	–	–	311	1.2319
1.1790	–	–	222	1.1790
1.0215	–	–	400	1.0215
0.8343	–	–	422	0.8343
$a = 4.0862 \text{ \AA}$		$a = 2.887 \text{ \AA}$		$a = 4.0862$
$a = 2.887 \text{ \AA}$		$c = 4.780 \text{ \AA}$		
$c = 4.780 \text{ \AA}$		$c/a = 1.656$		
		$V = 34.502 \text{ \AA}^3$		$V = 68.230 \text{ \AA}^3$

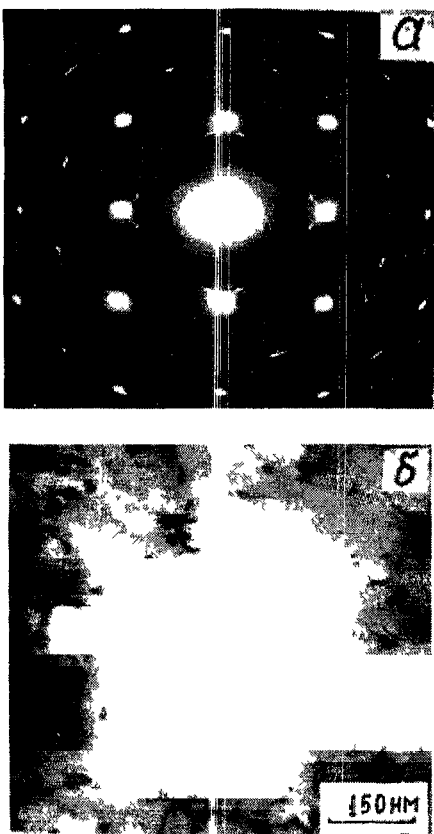


Рис 4 Пленка серебра, сконденсированная на подложке NaCl . Электронограмма (а), (б) – светопольное изображение микроструктуры

Таким образом, присутствие гексагональной фазы в исходных неподвергавшихся облучению поликристаллических пленках и в одной из двух типов монокристаллической пленки серебра (с ориентацией [111]) можно считать надежно установленным фактом, подтверждающим данные, полученные ранее в работах [3-6,9].

4. Облученные пленки. Исследование монокристаллических и поликристаллических пленок, облученных различными дозами ионов He^+ , позволяет ответить на следующие вопросы.

а) Как влияет присутствие гексагональной фазы на структурные изменения в пленке, вызванные ионной бомбардировкой?

б) Как влияет облучение ионами гелия на микроструктуру пленок?

Предсказать заранее влияние присутствия гексагональной фазы в кубической матрице серебряной пленки не представлялось возможным. Можно было предполагать, что

малые выделения этой фазы послужат «зародышами», стимулирующими переход матрицы в целом в ГПУ-структуре под влиянием тех факторов, которым подвергается решетка металла в процессе ионной бомбардировки. Возможность именно такого влияния «зародышей» обсуждалась рядом авторов [13, 14]. Причем, можно было ожидать различного влияния этой фазы на монокристалл и поликристалл, поскольку характер ее выделений в этих двух случаях несколько различается. Если в поликристаллической пленке, как это видно на темнопольных микрофотографиях, выделения гексагональной фазы представляют собой, как правило, отдельные, хотя и мелкие (по сравнению с зернами матрицы) микрокристаллиты, имеющие четко выраженные границы по всему периметру кристалита, то в случае монокристаллической пленки эта фаза часто наблюдается как небольшой участок блока монокристалла, не имеющий отчетливой границы с остальной частью блока. Последняя особенность может служить особенно благоприятным фактором для перестройки решетки под влиянием «зародыша».

С другой стороны, можно было ожидать, что облучение пленок ионами приведет к «перетряске» атомов в решетке металла и ликвидации тех факторов, которые возникли в процессе роста пленки и способствовали возникновению нестабильной фазы. В этом случае облучение должно привести к ликвидации гексагональной фазы.

Что касается изменения микроструктуры пленок в процессе облучения, этот вопрос представляет самостоятельный интерес, в первую очередь, с точки зрения практических приложений, поскольку тонкие пленки серебра используются в микроэлектронике.

Изучение структуры поликристаллических и монокристаллических пленок серебра с ориентацией [111], облученных последовательно возрастающими дозами ионов He^+ , показало, что по мере увеличения дозы облучения рефлексы гексагональной фазы серебра ослабевают, а затем, при дозах $\sim 5 \cdot 10^{17}$ ион/ cm^2 , полностью исчезают.

Таблица 3

**Изменение гексагональной фазы в поликристаллических пленках серебра, облученных дозами
 $Q = 1 \cdot 10^{14} - 6 \cdot 10^{16}$ ион/см² ионами гелия с энергией 7 кэВ, при температуре T = 293 К**

hP	$d_{hkl}, \text{ \AA}$ $\Delta d = (\pm 5) \cdot 10^{-4}$				cF
hkl	$Q = 1 \cdot 10^{14} \text{ см}^{-2}$	$Q = 1 \cdot 10^{15} \text{ см}^{-2}$	$Q = 1 \cdot 10^{16} \text{ см}^{-2}$	$Q = 1 \cdot 10^{16} \text{ см}^{-2}$	hkl
100	2,4938	2,4953	2,5008	—	
101	2,3518	2,3557	2,3577	2,3610	111
003					
102	2,0366	2,0395	2,0421	2,0447	200
103	1,7107	1,7140	1,7110	—	
110	1,4411	1,4422	1,4419	1,4449	220
104					
111	1,4120	1,4122	—	—	
005					
112	1,3336	1,3344	—	—	
200	1,2478	1,2481	—	—	
201					
113	1,2293	1,2297	1,2291	1,2323	311
105					
202	1,1766	1,1774	1,1761	1,1798	222
006					
204	1,0198	1,0200	1,0188	1,0217	400
210	0,9434	0,9439	—	—	
211					
205	0,9284	0,9358	0,9342	0,9376	331
107					
212	0,9045	0,9119	0,9108	—	
116					
213	—	0,8758	—	—	
300					
214	0,8249	0,8324	0,8313	0,8343	422
108					

$$a = 2,8819 \cdot 10^{-3}$$

$$c = 7,0599$$

$$c/a = 2,4497$$

$$V = 50,78 \text{ \AA}^3$$

$$a = 2,8834 \cdot 10^{-3}$$

$$c = 7,0641$$

$$c/a = 2,4499$$

$$V = 50,86 \text{ \AA}^3$$

$$a = 2,8791 \cdot 10^{-3}$$

$$b = 7,0576$$

$$c = 5,0038$$

$$V = 101,67 \text{ \AA}^3$$

$$a = 4,087(1)$$

$$V = 68,267 \text{ \AA}^3$$

Табл. 1 и 3 иллюстрируют изменения состава рефлексов в электронограммах от поликристаллических пленок серебра, облученных дозами $Q = 1 \cdot 10^{14} - 6 \cdot 10^{16}$ ион/см², которые позволяют проследить, как уходят рефлексы гексагональной фазы по мере увеличения дозы облучения. Монокристаллические пленки (111) Ag облучали ионами гелия до более высоких доз $Q = 1 \cdot 10^{16} - 5 \cdot 10^{17}$ ион/см².

Облучение поликристаллических пленок серебра ионами гелия приводит также к изменению микроструктуры пленок. С одной стороны, под действием облучения происходит измельчение размеров кристаллитов в пленках, с другой – заметно изменяется число линейных дефектов упаковки и дислокаций.

На рис.5 (1) – зависимость средних размеров кристаллитов от дозы облучения пленки.

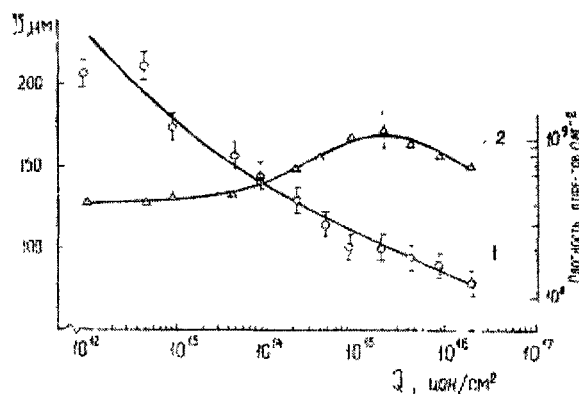


Рис. 5. Зависимости среднего размера кристаллитов (1) и суммарной плотности дефектов в кристаллах (2) от дозы облучения ионами гелия.

Как видно на рис.5 (1), что средний размер кристаллитов пленки в диапазоне доз от $5 \cdot 10^{12}$ - $6 \cdot 10^{16}$ ион/ см^2 уменьшается от 200 до 50нм. Изменение суммарной плотности дефектов в кристаллах увеличивается (на полпорядка) с дозы $\sim 5 \cdot 10^{13}$ и достигает максимума при дозе $2 \cdot 10^{15}$ ион/ см^2 , а дальше с дозой облучения совпадает.

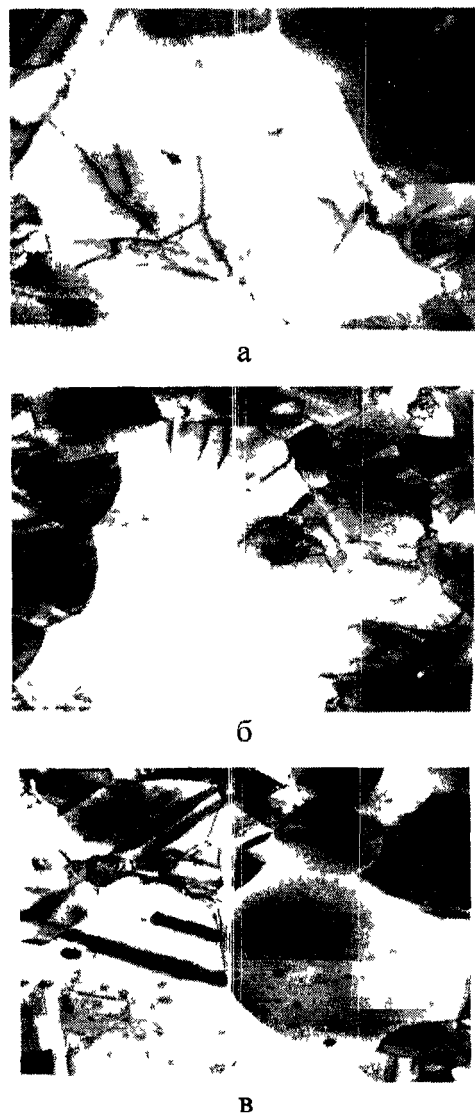


Рис. 6 Микроструктура поликристаллической пленки серебра, облученной ионами гелия до доз а) $1 \cdot 10^{14}$ ион/ см^2 соответствует подъему роста дефектов, приведенных на рис. 5(2), б) $1 \cdot 10^{15}$ ион/ см^2 соответствует максимуму, в) $1 \cdot 10^{16}$ ион/ см^2 соответствует спаду дефектов упаковки

При дозах $1 \cdot 10^{16}$ см $^{-2}$ и выше электронно-микроскопически наблюдается (см. рис. 7 б) образование пор и одновременно с

этим очищается матрица кристаллита от дефектов (микродвойников, дислокаций).

Анализ величины суммарной плотности дефектов от дозы облучения гелием пленки, приведенной на рис. 5 (2), позволяет проследить за изменением микроструктуры в кристаллах пленки в интервале доз $\sim 1 \cdot 10^{14}$ см $^{-2}$, начало подъема роста в максимуме при дозе $\sim 1 \cdot 10^{15}$ см $^{-2}$ и спаде плотности линейных дефектов при дозе $\sim 1 \cdot 10^{16}$ см $^{-2}$.

На электронно-микроскопических снимках, приведенных на рис. 6 показаны изменения микроструктуры в поликристаллических пленках серебра при облучении ионами He^+ в интервале доз $1 \cdot 10^{14}$ до $6 \cdot 10^{16}$ ион/ см^2 при комнатной температуре.

Микрофотографии на рис.6 иллюстрируют микроструктурные изменения: с ростом дозы происходит микродеформация кристаллитов в пленках – при дозе $Q=1 \cdot 10^{16}$ ион/ см^2 видны очень мелкие газовые и вакансационные микропоры размером $\sim 15\text{-}20\text{\AA}$, с ростом дозы увеличивается плотность пор и их средний размер.

2. Последовательность структурного превращения в монокристаллических пленках (111) Ag при облучении ионами He^+ с энергией 7 кэВ приведена на электронограммах рис. 7. На электронограмме (а) исходного образца пленки (111) Ag видны интенсивные точечные рефлексы плоскостей {022} и {224}, которые отражают гексагональную сетку зоны направления двух осей [111] и [001] гексагональную сетку зоны дополнительных экспарифлексов, межплоскостные расстояния которых приведены в табл. 2. На электронограмме (а) от исходной пленки присутствуют рефлексы двух ГЦК и ГПУ-фаз пленки серебра. При облучении ионами гелия в диапазоне доз $4 \cdot 10^{16}$ - $5 \cdot 10^{17}$ ион/ см^2 на дифракционных картинках, показанных на рис. 7 видны изменения кристаллической структуры с ростом дозы облучения пленок (111) Ag. Анализ кристаллической структуры электронограмм, приведенных на рис. 7, показывает, что с ростом дозы облучения He^+ точечные рефлексы постепенно азимутально размываются и превращаются в колышевые, что свидетельствует о дроблении и разориентации блоков

моноокристалла и превращении в поликристалл с мелкозернистой структурой. Дополнительные экстра-рефлексы полностью исчезают и на электронограмме (г) наблюдаются только сплошные кольцевые линии слабой интенсивности ГЦК решетки серебра

Структурные и микроструктурные изменения происходят в моноокристаллических пленках (001) Ag при облучении ионами ге-

лия с энергией 7 кэВ до дозы $4 \cdot 10^{16}$ ион/см² при комнатной температуре и T = 673 К.

Исходная структура моноокристаллической пленки (001) Ag приведена на рис. 4. Изображение пленки (001) Ag после ионного облучения гелием до дозы $4 \cdot 10^{16}$, что отвечает спаду суммарной плотности дефектов упаковки, приведено на рис. 5(2)

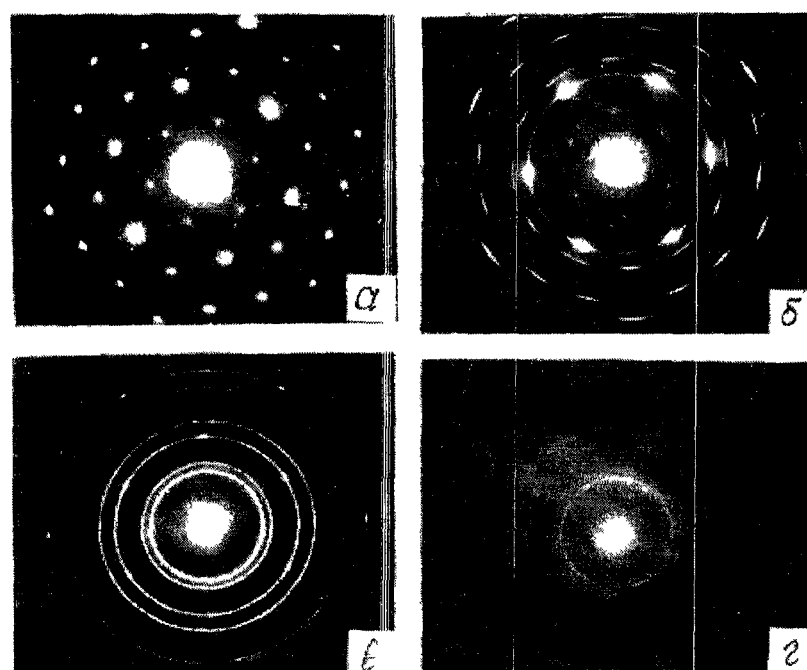


Рис 7 Последовательность структурного изменения в пленке (111) Ag в зависимости от дозы облучения ионами гелия (ион/см²)
а) исходная структура,
б) $-4 \cdot 10^{16}$ см⁻², в) $-1 \cdot 10^{17}$ см⁻²,
г) $-5 \cdot 10^{17}$ см⁻²

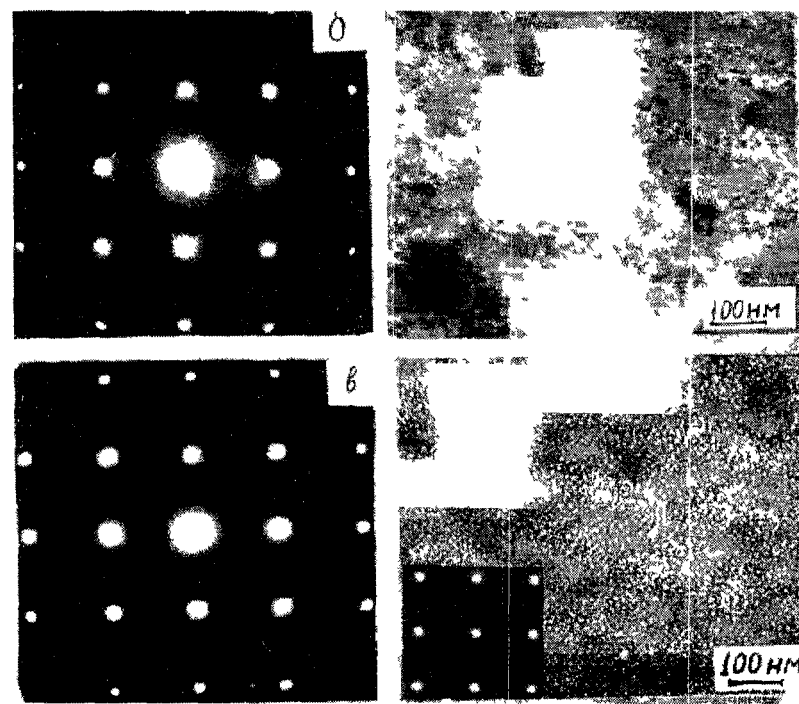


Рис 8 Пленка (001) Ag после облучения ионами гелия до дозы $\sim 4 \cdot 10^{16}$ ион/см² при комнатной температуре – (б), (в) – при T = 700 К

На рис. 8. показана электронограмма (б) и светопольное изображение микроструктуры. Как видно на электронограмме, никаких изменений кристаллической структуры с ориентацией (001) не происходит, лишь только ослабли интенсивности рефлексов на тяжах от дефектов упаковки, расположенных в плоскостях {113}, {133} и {111}. На микроструктуре светопольного изображения видны гоочечные и очень мелкие газовые поры и дефекты упаковки.

При ионном облучении до дозы $4 \cdot 10^{16}$ ион/см² пленки (001) Ag при T = 700 К, на рис. 8 приведены электронограмма (в) и микроструктура облученной пленки. На электронограмме (в) не видно никаких дополнительных рефлексов, а на микрофотографии светопольного изображения микроструктуры пленки наблюдается высокая плотность газовых и вакансационных пор размером ~ 2-5 нм. На микрофотографии микроструктуры (в) вставлена картинка микрорадиации [001] пленки серебра без дефектов упаковки.

На микроструктуре видно, как упругое поле субмикроскопических газовых пузырьков вытеснило все плоские двухмерные дефекты из структуры пленок серебра [15].

Выводы

1. Результаты выполненных исследований подтверждают данные, полученные ранее другими авторами, свидетельствующие, что при получении тонких пленок серебра методом испарения и конденсации в вакууме как в поликристаллических, так и в монокристаллических пленках определенной ориентации (в данном случае в направлении оси [111]) наблюдается выделение гексагональной фазы. Малая интенсивность рефлексов этой фазы в электронограммах, также как и данные темнопольной электронной микроскопии, свидетельствует о малой доле этой фазы с помощью темнопольной микроскопии и является, на наш взгляд, первым надежным доказательством наличия этой фазы в тонких пленках серебра.

2. Наличие зародышей гексагональной фазы в пленках серебра, подвергнутых облучению ионами гелия, не приводит к росту но-

вой фазы в процессе облучения. Наоборот, под влиянием облучения выделения фазы, имеющей структуру, отличную от основной матрицы, по мере увеличения дозы постепенно приобретают ГКЦ-структурную матрицы.

3. Облучение пленок серебра ионами инертного газа, как и в случае других исследованных металлов, не вызывает изменения кристаллической структуры матрицы. Основной результат такого облучения сводится к дроблению зерна или блоков монокристалла. Причем, конечная структура оказывается чрезвычайно мелкозернистой.

4. Облучение пленок приводит первоначально к росту концентрации в них дефектов, однако последующее увеличение дозы ведет к относительному снижению концентрации объема зерна, возможно, за счет того, что при дроблении зерен часть образующихся дефектов уходит на границы. Однако для выяснения особенностей хода зависимости «концентрации дефектов-доза облучения» необходимы дальнейшие исследования.

5. Облучение пленок кубического серебра ионами гелия (при тех же параметрах облучения) не изменяет кристаллической структуры, а очищает ее от дефектов упаковки, и внедренный гелий коалирует в порах.

Библиографический список

- 1 Sagel K. Tabellen zur Röntgenstrukturanalyse. Berlin, 1958.
- 2 Миркин Л. И. Справочник по рентгеноструктурному анализу поликристаллов. – М.: Гос. издательство физ.-мат. литературы, 1961.
- 3 Данков П. Д. И др. // Докл. АН СССР, 1948. 59, 113.
- 4 Бублик А. И Электронографическое исследование тонких пленок серебра // Докл. АН СССР, 1954 95, 521.
- 5 König H. Darmstadt Hexagonalessilber // Angew. Chem., 1958, Bd. 70, 110.
- 6 Bahadur K., Sasty P. V. On the extra reflections in electron diffraction patterns from thin evaporated films of sonu of the fase-centred cubic metals // Proc. Phys. Soc. 1961, 78, 594.
- 7 Pashley D. W., Stowall M.J. Electron microscopy and diffraction of twinned structures in evaporated films of gold. Phil. Mag // 1963. 6, 1605.
- 8 Хирш П., Хови А., Николсон Р., Пешли Д., Уэлан М. Электронная микроскопия тонких кристаллов. – М.: Мир, 1968.

9. Новгородова М. И., Горшков А. И. И др. Новые структурные модификации самородного серебра // Докл АН СССР, 1978, 243. – № 5. – С. 1289.
10. Zelenskij V. F., Nekludov I. M., Martynov I. S., Morozov A. N., Pistyak S. V. and Pylaiko V. F. Rad. Effects Defects in Solids. 1990, 115. 31.
- 11 Гусев В. А., Мартынов И. С. и др. Изменение субструктурой с отжигом в пленках серебра высокой частоты // ВАНТ. Сер. физ. и техн. высокого вакуума, 1976, 2(6). 48.
12. Серых В. П.. Порошок. Комплекс программ для структурного анализа поликристаллов: Препринт ХФТИ 85-5. – М.: РЦНИИатоминформ, 1985.
13. Bykov V. N., Troyan V. A., Zdorovtseva G. G., Khaimovich V. S. Phase transformations at bombardment of thin film with ions // Phys. Stat. Sol. (a). 1975. Vol. 32. P. 53-61.
14. Belii I. M., Komarov F. F., Tishkov V. S., Yankovskii V.M. Formation of chemical compounds by ion bombardment of thin transition metal film // Phys. Stat. Sol. (a). 1978. Vol. 45. P. 343-352.
15. Дубинко В. И., Слезов В. В. и др . // ВАНТ сер. Физика радиационных повреждений и радиационное металловедение, 1985. – Вып. 1(34), 1-77.

ИССЛЕДОВАНИЯ ПО МАТЕМАТИЧЕСКОЙ ФИЗИКЕ

УДК 531.1

НЕКАНОНИЧЕСКАЯ ФОРМУЛИРОВКА КВАНТОВОЙ МЕХАНИКИ НА БАЗЕ РАСШИРЕНИЯ ШРЕДИНГЕРОВСКОГО ОПИСАНИЯ ДВИЖЕНИЯ

Г. К. Хомяков
«Хартон», г. Харьков

В работе предлагается такой математический формализм для квантовой механики, который соответствует доктрине классической механики, т.е. описание эволюции динамических переменных механической системы и условий квантования представляется системой обычных дифференциальных уравнений первого порядка по времени. Формализм имеет более тесную связь со сгационарным уравнением Шредингера, чем устанавливается в кванкласическом приближении.

1. В предлагаемом формализме динамика системы частиц описывается уравнением Гамильтона-Якоби

$$\partial S / \partial t = -H(r_i, p_i, t),$$

где S -главная функция Гамильтона, t – время, H – гамильтониан системы, r_i -вектор положения i -ой частицы, $p_i = \text{grad}_i(S)$ – ее импульс. $S(r_i, d, t)$ связана с уравнениями движения в явном виде соотношениями

$$\partial S / \partial x_{i0} = p_{i0}; \partial S / \partial \alpha_i = \beta_i,$$

где α_i, β_i связаны с начальными координатами и импульсами.

Поскольку рассмотрение будет касаться случаев, когда H не зависит явно от времени $S(r_i, \alpha_i, t) = W(r_i, \alpha_i, E) - E \cdot (t - t_0)$, и для характеристической функции Гамильтона W имеем уравнение

$$H(r_i, \text{grad}_i W) = E, \quad (1)$$

$$\text{где } \text{grad}_i(W) = p_i \quad (2)$$

кинетический импульс i -ой частицы, E – энергия системы [1].